

汚泥の熱処理に関する基礎的研究

京都大学工学部 正会員 宗宮 功

" 山田春美

" 沢村正純

" 学生員 清野 淳

1. はじめに

汚泥の熱処理は現在すでにいくつもの都市において、試験から実際運転に至つてゐる。汚泥の短時間処理を可能にする新規プロセスとして広く流布する勢いにありが、処理する汚泥の性質が複雑であることもあって、処理メカニズムの解明や操作法の確立が遅れている。汚泥の脱水性が非常に改善される一方で、脱離液の下水處理に与える効果が問題となることは、すでに多くの学者によて指摘されている。本研究は、汚泥の熱処理とは汚泥どのような性質をもつたものかを検討するために、余剰汚泥ある条件下で熱処理し、その混合液を分析し、従来の水質指標にみられる変化を検討したものである。

2. 実験方法

1) 実験装置および実験条件

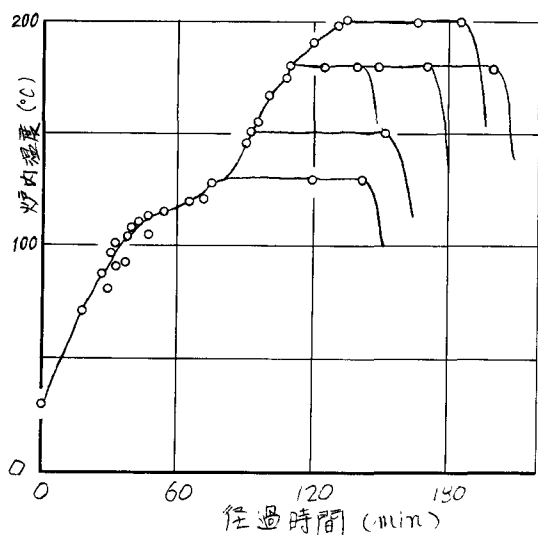
実験に用いたオートクレーブは直火式の加熱方式をとる攪拌機付反応器で、容積35l、最高圧力2.3kg/cm²の回分式のものである。実験には比較的汚泥の組成が均質なものを用ひるために、京都市長期下水処理場の余剰汚泥を用いた。加熱状況は次の例を図-1に示すが、2~3°C/分の速度で上昇させ、一定温度で一定時間保持して熱処理を行ない、その後水道水にて室温近くまで急冷した。実験条件因子である温度・処理時間については、表-1のような組合せをつくり、180°Cで60分の処理を中心とした検討を加えた。

2) 分析項目と方法 通常の水質指標と質変化がどのように把握しうるかを知るため、次のような15の分析項目を定めた。一般的指標として、pH、アルカリ度、COD(重クロム酸カリ法)、BOD、蒸飛残留物、熱灼減量、總窒素、アミノニア性窒素およびアルブミン性窒素を、また蛋白質や炭水化物の変化を推進するために、蛋白質(牛血清アルブミン含量、Biuret法)、アミノ酸(Pro-Phevenson加銅法)、炭水化物(アンスロン法)、单糖類(Tauber-

表-1 汚泥の熱処理条件

温度 処理時間	130°C	150°C	180°C	200°C
	30分		○	
60分	○	○	○	○
90分			○	

図-1 热処理状況



Kleiner法) および画簡法(Food Analysis), 摂発性有機酸を測定した。なお、一般的な標本については下水道試験方法によつて測定し、各水質に関する限り全濃度と溶解性濃度の2つを実測することとした。なお、定量法そのものに関する吟味・検討が十分ではなく、データにバラツキを生ずる一つの因をなしてゐるものと見える。けんに熱処理後の混合液の測定については、ゲルオロ法を適用して分離を進み、分子量の変化状況や分子量順位によるCOD量の変化を測定・検討した。

3. 実験結果と考察

実測結果の例を表-2に示す。実験NO. A系列は熱処理温度を180°Cに保つて処理時間は変化したものであり、実験NO. B系列は処理時間は60分に保つて熱処理温度を変化させたものである。各系列は同一時刻に採取した試料を用いて各々の条件下で処理したもののがデータで濃度を表示したものである。だが、各実験は並列的に進められたものではなく、各実験毎に試料投入操作、サンプリングおよび測定など複数の誤差が入っており、かなりバラツキを示している箇所もみられる。このことは量に固まる物質収支を検討することは困難にしてしまつて、直火式の加温のため試料が蒸散されることが多く、質的影響は十分検討しきることは考えられぬ。以下の考察においては、できるかぎりデータを統一する目的で、すべてのデータを各々の全基準残留物で除し、一種の単位基準残留物あたりの水質項目的な値として比較検討することとした。

表-2のデータのうちpH、M-アルカリ度の一般的な傾向は、pHについては温度上昇や処理時間の増加につれて若干低下する傾向이며、M-アルカリ度は増加傾向がみられる。ともに処理時間より熱処理温度の影響を強くうけようがあり、他の水質因子についてもほとんど二つの傾向が強い。

1) 混雑物質の溶解化 混雑の熱処理により、その一部は溶解化し、固形性の基質の一部が水中へと放出される。又実データから溶解性固形物の減少する状況を窺ふると、図-2がえられる。図-2(1)は熱処理時間による効果を、図-2(2)は処理温度の効果を示している。図(1)から、熱処理温度180°Cでは、30分で50%以上のものが溶解してしまうことである。図(2)では熱処理温度の上昇につれ

表-2 実測データ

測定項目	熱処理条件	A				B			
		熱処理温度 180°C			熱処理時間 60分				
		A-1 生	A-2 30分	A-3 60分	A-4 90分	B-1 180°C	B-2 180°C	B-3 200°C	B-4 200°C
pH	T					6.70	6.58	6.30	6.18
	D	7.8	6.1	6.0	6.0	6.20	6.65	6.20	6.18
アルカリ度	D	104.8	103.2	102.6	89.8	37.6	89.4	90.0	114.8
COD	T	5302	5422	4526	7284	5620	6773	6192	5858
	D	48	1970	1695	2782	225	2801	3010	3144
BOD	T	2238	3512	3461	4264	3770	1854	1679	1730
	D	48	2817	2771	3811	58	1061	1128	1246
蒸発残留物	T	1790	8570	1020	10860	6360	6660	5820	4940
	D	196	4490	4360	4840	180	3060	2660	2500
懸濁物質	T	4840	5510	4710	3230	4240	4080	3860	3180
	D	533	722	567	602	482	550	553	499
トータルN	T	17	550	447	516	86	361	413	447
	D	120	103	86	86	155	120	172	155
NH ₃ -N	T	52	86	86	86	69	69	103	120
	D	378	567	413	361	310	292	344	292
Alb-N	T	69	292	310	206	0	206	172	224
	D	12320	3816	3280	3524	4880	2640	2440	1792
蛋白質	T	0	856	880	824	0	560	600	172
	D	9.7	11.4	18.3	36.7	22.3	32.0	19.5	13.7
アミノ酸-N	T	8.0	7.4	11.4	27.5	8.0	26.3	17.2	11.4
	D	550	545	450	525	500	490	445	265
炭水化物	T	17.5	315	332	400	20	288	268	163
	D	17.5	89.0	86.5	119.0	10	33	60	98
单糖類	T	5.0	92.5	91.5	110.0	5	30	48	103
	D	9.0	69.8	85.2	79.8	14.7	205.2	51.6	67.8
揮発性脂肪酸	T	0	0	0	0	5.9×10 ²	2.5×10 ²	2.0×10 ²	2.9×10 ²
酢酸	D	0	0	0	0	0	0	0	0

単位はppmである。

Tは熱処理混合液、Dは混合液の済過液(Na₂SO₄にて済過)について測定した値を表わしてある。

浮遊性固形物の溶解化が進むようであるが、処理温度 180°C ではややり 50% で、どのものが溶解すると考えられる。一方図-2(3)は全溶解残留物質の VSS % を示したものである。170 分以外を除けば、熱処理時間・温度の若干変化しても全体としての VSS の構成は変化しないようである。これは膜素を供給しない熱処理操作では大半の有機物が無機化する二とはなく、固形物質の一部が中溶液中に溶解して保存されることが考えられる。

汚泥の有機物変化と立場から上記事項を検討するにあたり、図-3、図-4に熱処理汚泥混合液の全 COD(T-COD)、溶解性 COD(D-COD)ならびに全 BOD(T-BOD)、溶解性 BOD(D-BOD)の変化を示した。図-3(1)より、処理温度を一定としたケースでは、T-COD は各実験ごとにほぼ一定している。一方図-3(2)では処理温度の上昇につれ、T-COD は増加傾向にあるが、D-COD の増加が著しく、ほとんど二段による増分と考えられる。図-2 にみられた汚泥の可溶化は図-3 の溶解性 COD の増加となっていふと考えられる。

図-4 BOD の変化

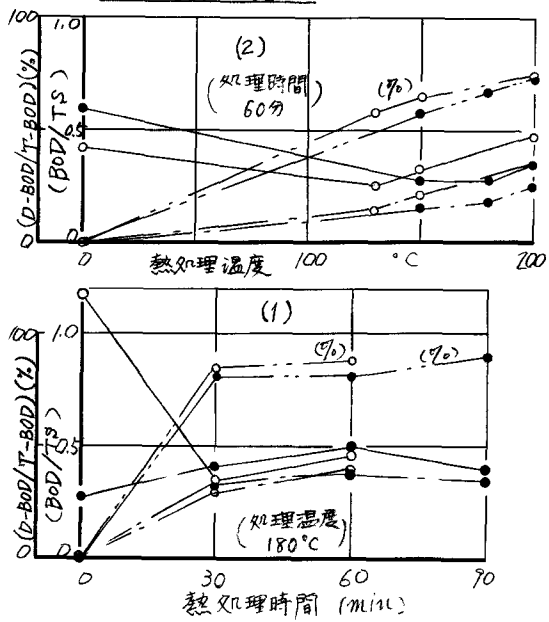


図-2 固形物の挙動

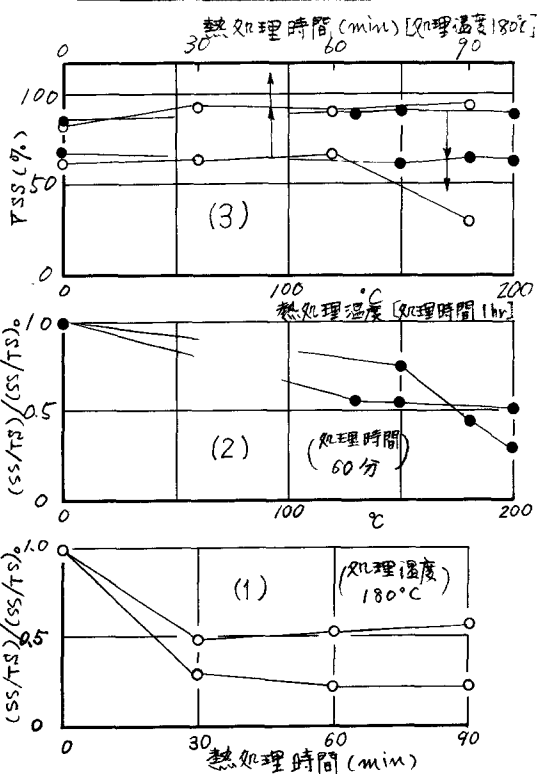
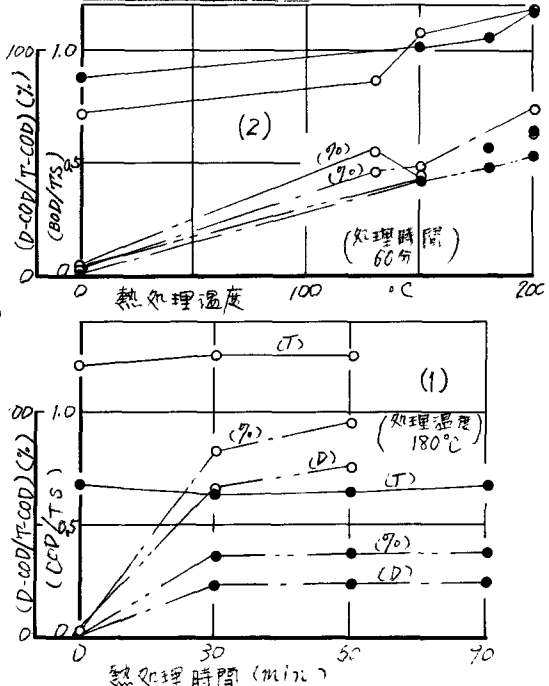


図-3 COD 变化



一方、図-4にはBODの変化を示した。図-4(2)と図-3(2)と比較してみると、熱処理後のT-BODは処理前の値に比し僅かにほぼ同じ程度の値であり、熱処理後の汚泥や溶出した有機物は比較的BOD試験においてにくい物質になつたのでばないかと推察される。この傾向は処理温度が低いほど著しいようである。図-4(1), (2)より処理温度180°Cで処理時間が30分以上あればBODのほぼ70~80%のものが溶解性BODであることが明らかとなる。初期における溶解性BODがZeroに近いことを考慮すれば、ほとんど溶出によるものであると言えよう。

2) 蛋白質の挙動

熱処理の主反応は蛋白質の溶解反応、いわば蛋白質の加水分解によるアミノ酸やアンモニアへの分解反応であると考えられることが多く、蛋白質に與する状態とともに蛋白質からアミノ酸、アミノ酸からアンモニアへの分解されていく過程を同定する文字があるが、技術的にはまだ困難である。これは大まかに全窒素、アンモニア性窒素、蛋白質、アミノ酸窒素の相互関係を実験データから検討してみる。

図-5は熱処理汚泥混合液の全窒素の溶解状況を知る目的で横軸に固形物質中の全窒素量の減量を、縦軸に溶液の全窒素を示したものである。固形物質中の窒素が減じた場合、当然溶液の窒素が比例して増加するはずであり、図-5にもこれに近い結果がみらせる。ただ、わずかに溶液中の窒素の直の高い値を示すようであり、溶解した窒素が他の固形物質にある場合より溶解されやすくなるにあって、そのためかあるいは完全な測定误差等のかたる原因でどうか。図-6および図-7に処理時間、処理温度に対する全窒素、蛋白質、アミノ酸窒素、アンモニア性窒素の変化を示した。図-6より、蛋白質の減少はすでに反応時間30分でかなり進んでおり、時間と共にてもやはり大きく変化しない。また全窒素も180°Cの処理で30分以上では75~85%が溶解性のものになってくる。溶解性蛋白質も徐々に存在している。溶解性アミノ酸窒素やアンモニア性窒素は処理前の値に比し、ともに増加しており、固形物質蛋白質の減量部に溶解性蛋白質

図-5 Total-N 収支

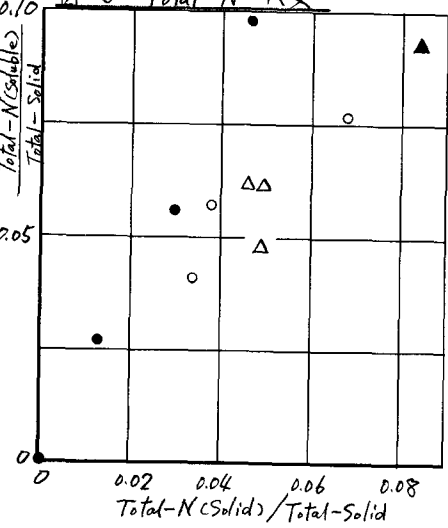
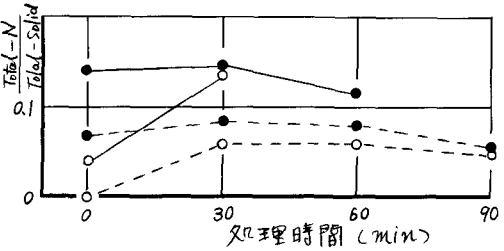
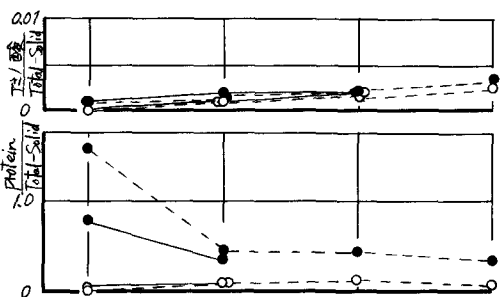
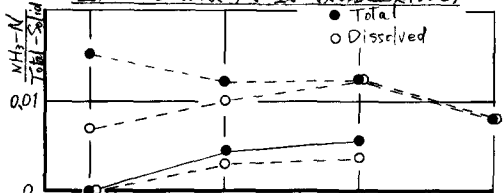


図-6 窒素類の挙動 (処理温度180°C)



溶解性のアミノ酸をもつた窒素およびアンモニア性窒素へと分解されていく。図-7における処理温度の効果をみると、蛋白質の分解は150°C以上ではかなり一進していけるよう傾向を示すものの、加温するにつれ溶解性アミノ酸性窒素が急増する傾向がみられる。逆に、アミノ酸の全量は温度上昇につれて低下するようである。結局、温度上昇の効果は、アミノ酸の絶対的量を増加させるものの、さらに逆にアンモニア性窒素まで分解するようである。

3) 炭水化物等の挙動

図-8、図-9に炭水化物と酵素類の処理温度、処理時間に関する変化を示した。図-8では処理温度の增加により炭水化物は減少する傾向を示し、炭水化物の分解産物と考えられる单糖類は逆に増加傾向を示している。ただ熱处理温度が150°Cであってもすでに60%近くものものが溶解性となり、温度上昇してもあまり変わらない。また処理時間については、30分の処理で60~80%の溶解となっており、かなり低温・短時間で分解するといふ傾向を示している。ただ高分子状態の炭水化物がより低分子の单糖類へと分解され、溶解したのではなくてかられ、両者の濃度差はかなりのものがあり、両者の測定法で測定しきりなものへ変質したのだけを考えても妙である。

図-7 窒素類の挙動(熱處理時間1hr.)

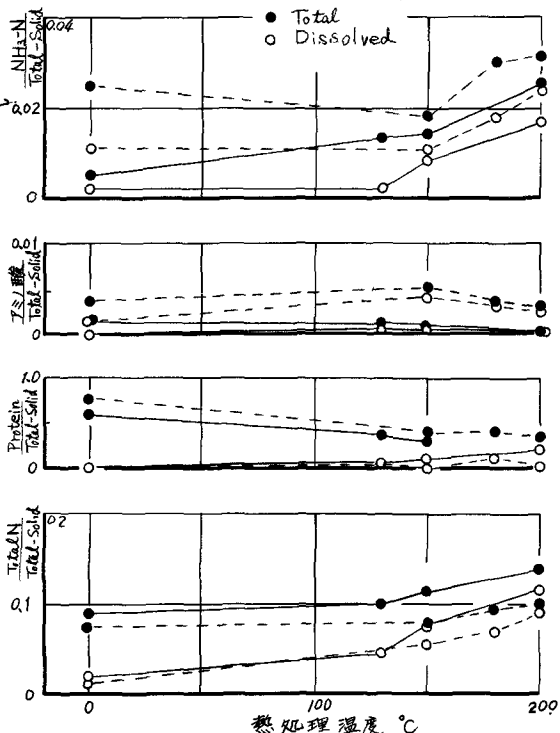


図-8 炭水化物の挙動

(熱處理時間1時間)

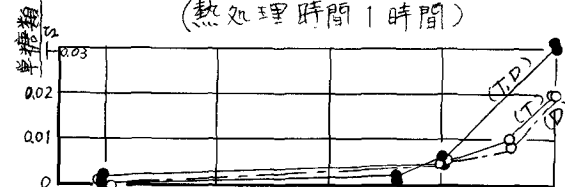
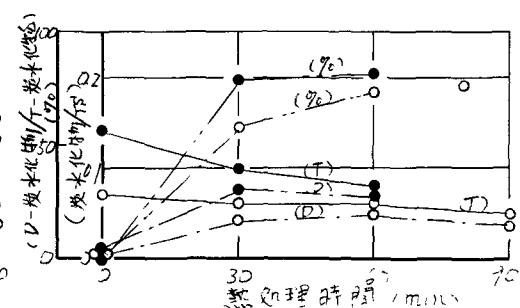
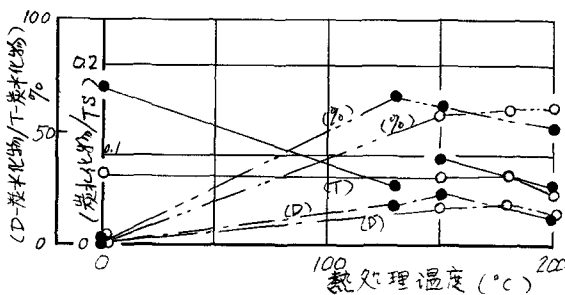
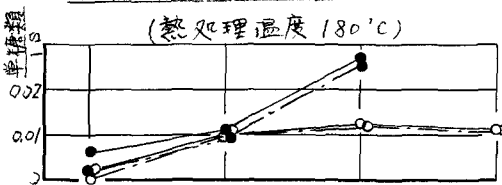


図-9 炭水化物の挙動

(熱處理温度180°C)

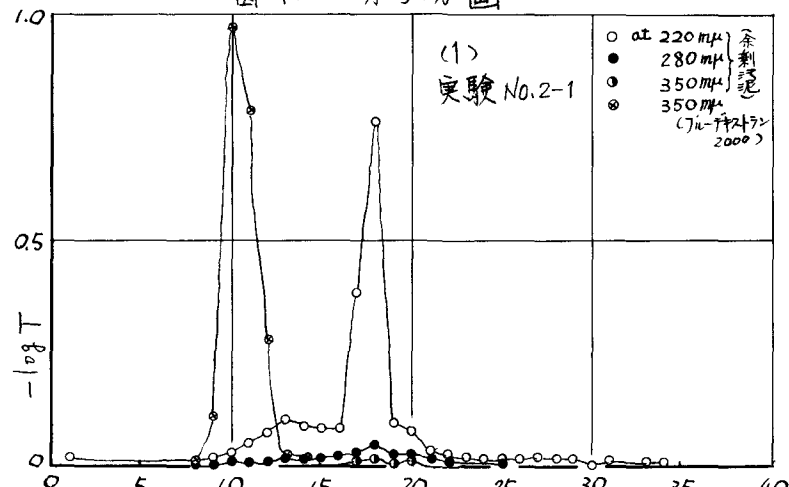


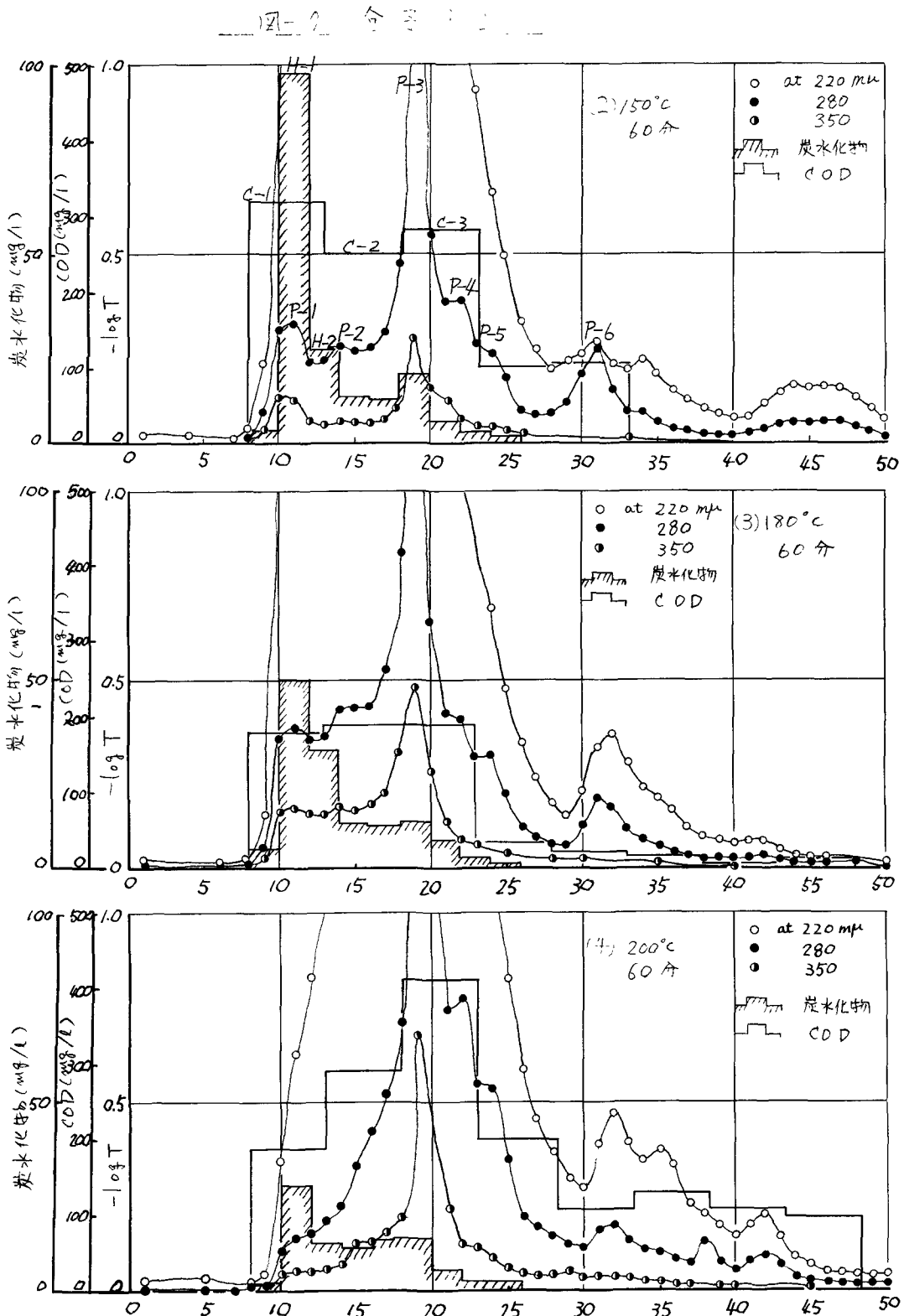
4) 液の分子分画 熱処理条件による溶液組成の違いをセファデックスによる分子分画で検定的比較を行なった。試料は処理前のやく（実験No.2-1），150°C-60分（No.2-2），180°C-60分（No.2-3），200°C-60分（No.2-4）の4つである。実験方法は熱処理液合流をNo.5A3滴でろ過し，3滴に10mlをセファデックスG-25を充填した。直径2.5cm高さ40cmのカラムで，蒸留水を用いて溶出層射出。流速は0.46（ml/分），溶出液はフラクションコレーターで9.2mlずつ分取した。右フランクションは紫外吸光（波長，220, 280, 350mμ）を用いて測定した。同時に電気伝導法によるCOD，アンスロン法による炭水化物を測定した。

実験結果を図-10(1), (2), (3), (4)に示す。図(1)と(2), (3), (4)とを比較すると、明らかに溶液中に多くの有機物が移行したことわかる。温度変化による溶液の組成については、図(2)によると、150°Cで280mμ紫外吸光測定によりP-1-P-6までの6段階がある。次いでP-3を頂点とする三角形の構造では、温度上昇とともに三角形の右辺が増加、左辺が減少している。P-3は350mμでも最大の吸光度もち、色度とも相関があり、その吸光度は温度と比例関係にある。デキストラランの溶出位置との関係から分子量1000程度と推測される。なお詳しくみると、150°CではP-1よりP-2より高く、180°Cではほとんど同じであり、200°Cでは逆転がつけにくくなる。このことは、一太大きな分子でとけた有機物が温度上昇につれ、小分子へ移行したことを示す。P-3は温度上昇で増加するが、その限界はこの実験条件では推定できない。27フランクションを1gリードとし COD測定により、上記結果はより明確となる。図(2)に示したCODに換算するC-1, C-2, C-3の割合を比較検討すると、C-1>C-3>C-2の順となり、全体でC-1グループの占める割合が大きいが、図(3)では三者はほとんど差なく、図(4)では逆にC-1<C-2<C-3の順となり、随著に分子量大から分子量小への移行があらわれている。一方、27フランクションを1gリードとした炭水化物の測定をも図-10に示すが、炭水化物は意外と大きめで溶液中に存在していることがわかる。H-1gリードは分子量約5,000程度と推定できる。また温度上昇により、小分子への移行は、H-1gリードより明らかで、180°Cでは150°Cの1/2, 200°Cでは1/3以下の量に減

かしている。一方、温度上昇とともに増加傾向にある单糖類については、アンスロン法などではほとんど認められず、またTauber-Kleiner法でも感度の点より明確にとらえることができなかった。このことは、存在していきる单糖類は5炭糖類未満の小さなものにまで移行していると推論できる。

図-10 分子分画





4.まとめ

熱処理操作による汚泥の溶解化状況を既往水質指標とともに検討した。本研究では、余剰汚泥という特殊な汚泥を用いたのであるが、得られた知見を以下に列挙する。今後の実験データの蓄積を得て結論すべきではない階段が多い。分析データ以前の問題としては、処理対象汚泥の不均一性、熱処理操作における脱臭状態の確認とそのタイミングなどにより、処理汚泥の性状がかなり異なってくる。分析法についても、処理混合液の着色、にじりのため、比色や滴定が困難なケースがみられ、着色・にじりとの差異を同時に使用する分析法の再検討が必要である。

固形物の可溶化現象についてはつぎのような特徴がみられた。

- 1) 固形物の溶解化が著しく、180℃処理では全体の約50%の固形物が可溶化するようである。つまり、脱水性の向上した汚泥は処理前汚泥の約50%でありますことを示す。
- 2) 溶解性有機物の変化を、COD、BOD、蛋白質、全窒素、炭水化物などみてみると、180℃処理温度では、あまり処理時間に直角なく溶解化が進むようであり、処理時間を固定してみると、比較的処理温度の上昇によって増加したり、減少したりする傾向がみられた。
- 3) 180℃といふ熱処理にかられる固形物の溶解状況をみると、溶解性物質の割合は、BODで70~80%，全窒素で75~85%，炭水化物で60~80%を示し、熱処理後の汚泥の有機物分は処理前の値に比し、およそ1/4で減じていると考えられる。
- 4) 汚泥中の蛋白質はかなり容易に、アミノ酸やアンモニアに分解されるようであるが、処理温度の上昇によりアノニアへの分解が増加する。
また、熱処理混合液のろ液をゲル状にした結果では、
- 5) 热処理による固形物の溶解は顕著であり、紫外吸光度、COD、炭水化物等々において、処理温度が高くなるにつれ、溶液有機物の組成は大きな分子から小分子へ移行していくこと示された。とくに、分子量5,000付近あるいはそれ以上のものの分子量1,000近辺へと移行が顕著に示された。熱処理水の着色の原因となる有機物は分子量約1,000程度でこの物質量の増加は温度上昇と比例関係にあることがわかった。

本研究を進めるにあたり、研究費等種々の便宜を計っていただき、平野正勝教授、村上忠弘
技官に感謝いたします。